

کاربرد الگوی WAF در شبیه‌سازی عددی امواج غلتاشی*

علی مهدوی^(۱)ناصر طالب بیدختی^(۲)

چکیده در این مقاله الگوی شار متوسط وزن دار (WAF) برای حل معادلات غیر خطی آب کم عمق و بررسی تکامل و انتشار امواج غلتاشی در آبراهه های با شیب تند به کار رفته است. در حقیقت این الگو دقت شارهای محاسبه شده توسط روش کلاسیک HLL را افزایش می دهد. همچنین الگوی WAF علاوه بر توانایی شبیه‌سازی ناپیوستگی های مرتبط با امواج غلتاشی، یک رهیافت قوی برای از بین بردن تاپاپاداری های عددی ناشی از عمق ناچیز آب، که معمولاً در شبیه‌سازی امواج غلتاشی مشاهده می شوند، ارائه می نماید. نیز رخ های محاسبه شده عمق آب و سرعت جریان تطبیقی رضایت‌بخش را با حل تحلیلی موجود نشان می دهند. نتایج عددی مربوط به تکامل زمانی دامنه موج برای جریان-هایی با اعداد فرود مختلف با آنچه که از یک مدل دیگر به دست می آید، مقایسه شده‌اند. همچنین مقایسه هایی میان نتایج این دو مدل برای تاریخچه‌ی زمانی عمق آب صورت پذیرفته است. تطابق مشاهده شده، از کارایی و دقت الگوی پیشنهادی در مدل‌سازی امواج غلتاشی حکایت می کند و این در حالیست که الگوی حاضر در پیاده‌سازی رایانه‌ای ساده‌تر است و به زمان اجرایی کوتاه‌تر نیاز دارد.

واژه‌های کلیدی معادلات غیرخطی آب کم عمق، موج غلتاشی، الگوی تسخیر شوک، شار متوسط وزن دار.

Application of WAF Method in Numerical Simulation of Roll Waves

A. Mahdavi

N. Talebbeydokhti

Abstract In this paper, the weighted average flux (WAF) method is used to investigate the development and propagation of roll waves in inclined steep channels. In fact, the WAF method improves the accuracy of the classic HLL scheme in evaluating numerical interface fluxes. The present shallow water solver is capable of efficiently capturing flow discontinuities associated with roll waves. In addition, it provides a robust approach to eliminate the numerical instabilities due to small water depths usually encountered in roll wave modeling. The simulated free surface profile and flow velocity show very satisfactory agreement with available analytical solution. The numerical results for time evolution of wave amplitude under different undisturbed Froude numbers are compared with those obtained by another numerical model. Comparisons are also made between water depth time histories computed by these two models. The observed agreement implies the efficiency and accuracy of the present scheme while it is relatively simpler in computer implementation and consumes shorter simulation run times.

Keywords Nonlinear shallow water equations, roll wave, shock capturing scheme, weighted average flux

★ تاریخ دریافت مقاله ۹۰/۷/۲۵ و تاریخ پذیرش آن ۹۱/۱۰/۲۴ می باشد.

(۱) نویسنده‌ی مسؤول، دانشجوی دکتری، بخش مهندسی راه، ساختمان و محیط زیست، دانشکده مهندسی، دانشگاه شیراز.

(۲) استاد بخش مهندسی راه، ساختمان و محیط زیست، دانشکده مهندسی، دانشگاه شیراز.

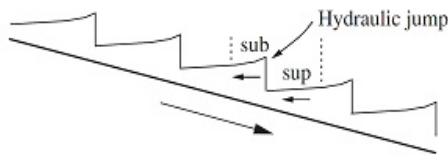
غلتشی در موارد گوناگون دیگری نظری جریان چند فازی [4]، جریان گل [5] و جریان در مجاري کشسان مانند جریان هوا و خون در رگ [6]، رخ می‌دهند.

بخش عمده‌ای از تحقیقات مرتبط با امواج غلتشی به تعیین شرایط لازم برای شکل‌گیری امواج غلتشی اختصاص یافته است. رهیافت اساسی در این زمینه عبارت است از بررسی پایداری یک جریان یکنواخت بر روی شیب ثابت که اغتشاشی بر سطح آزاد آن اعمال گردیده است. در مطالعات پیشین، با حل معادلات ناویر-استوکس برای جریان لایه‌ای و اعمال اغتشاشات سینوسی بر سطح آزاد جریان، عدد فرود آستانه برای رخداد موج غلتشی در حدود $F_0 = 0.5$ تعیین شده است [7]. هم‌چنین برای جریان‌های آشفته، با در نظر گرفتن یک آبراهه‌ی عریض، توزیع سرعت یکنواخت و ضریب اصطکاک ثابت، عدد فرود آستانه‌ی رخداد موج غلتشی برابر با $F_0 = 2$ به دست می‌آید [9].

باید توجه داشت که رخداد امواج غلتشی به وجود اصطکاک در مقابل جریان بستگی دارد و در صورت عدم وجود اصطکاک موج غلتشی شکل نمی‌گیرد [10]. هم‌چنین می‌توان شرایط لازم برای تشکیل این امواج را بر مبنای مقاومت جریان به دست آورد [11]. با این وجود امواج غلتشی بر روی بسترها بسیار نامنظم به وجود نمی‌آیند [12]. به بیان دیگر مقاومت بیش از حد جریان مانع از شکل‌گیری امواج غلتشی می‌گردد به طوری که برای تشکیل امواج غلتشی بایستی مقاومت جریان از یک مقدار مشخص کمتر باشد [13]. شایان ذکر است پدیده‌ی امواج غلتشی می‌تواند پتانسیل فرسایش خاک را افزایش دهد. دلیل این امر تغییرات زمانی و مکانی جریان در خلال رخداد چنین امواجی گزارش شده است [14,15].

مقدمه

با در نظر گرفتن جریانی یکنواخت بر روی بستر دارای اصطکاک در یک مجرای باز شیبدار، هنگامی که عدد فرود این جریان دست‌نخوردی یکنواخت از مقدار مشخصی بیشتر شود، ناپایداری‌هایی در سطح آزاد جریان رخ می‌دهد. تحت چنین شرایطی چنانچه یک اغتشاش کوچک به جریان دائم یکنواخت اعمال گردد، در نهایت مجموعه‌ای از امواج شکننده یا اُشتراك (bore) در الگویی پلهمانند در جریان به وجود می‌آید. این الگوی ناپیوسته‌ی متناوب به امواج غلتشی (waves) موسوم است. امواج غلتشی با سرعت ثابت و تغییرات متوالی رژیم جریان منتشر می‌شوند. جریان فوق بحرانی با گذر از یک پرش هیدرولیکی در یک چارچوب متحرک با سرعت یکنواخت به جریان زیر بحرانی تبدیل می‌شود (شکل ۱). به بیان دیگر از دیدگاه ناظری متحرک که با سرعت موج غلتشی به سمت پایین دست جریان حرکت می‌نماید، نیمرخ موج با تغییرات متوالی جریان فوق بحرانی به زیر بحرانی همراه است. این در حالیست که از دیدگاه یک ناظر ثابت، جریان در سراسر آبراهه‌ی فوق بحرانی می‌باشد. امواج غلتشی به صورت معمول در مجاري ساخته-ی دست انسان نظیر آبراهه‌ها و سرریزها به وجود می‌آیند. این امواج در فلومهای آزمایشگاهی نیز تولید شده‌اند [1]. رخداد چنین امواجی علامت این است که تغییرات در جریان و عمق آب می‌تواند قابل توجه باشد. هم‌چنین وجود امواج غلتشی ممکن است سبب سرریزی از کناره‌های آبراهه گردد. این امر مشکلاتی عملی برای مهندسان هیدرولیک به همراه دارد [2]. هرچند امواج غلتشی اغلب در مجاري مصنوعی رخ می‌دهند، این امواج در جریان‌های طبیعی نیز دیده شده‌اند که از آن جمله می‌توان به آبراهه‌های یخی، جریان‌های ثقلی در آزمایشگاه، اقیانوس و دریاچه‌ها اشاره نمود [3]. علاوه بر این، اغتشاشات شبیه به امواج



شکل ۱ انتشار امواج غلتی در یک آبراهه که با تغییرات متواالی جریان از حالت فوق بحرانی(sup) به حالت زیر بحرانی(sub) در یک چارچوب متحرک از طریق ایجاد پرش هیدرولیکی همراه است [20]

جریان یافته بر بستر شیبدار را مطالعه نمود [19]. این محقق با به کارگیری روش تفاضل محدود برای حل معادلات حاکم، تکامل خطی و غیرخطی اغتشاش اویله را بررسی نمود. Que and Xu (2006) با ارائه یک مدل حجم محدود که در آن از الگوی موسوم به حل معادلات آب کم عمق استفاده شده بود، به بررسی شکل‌گیری و تکامل امواج غلتی پرداختند [20]. با وجود توانایی الگوی BGK در شبیه‌سازی جریان‌های مختلف، این الگوی عددی در پیاده‌سازی رایانه‌ای پیچیده است و در مقایسه با الگوی مورد استفاده در این مطالعه به زمان اجرای طولانی‌تری نیاز دارد.

در این مقاله پس از تشریح معادلات حاکم، جزئیات روش عددی مورد استفاده برای تخمین شار عددی و چگونگی پیاده‌سازی عبارت چشمی در مدل عددی به تفصیل ارائه می‌گردد. در ادامه پس از بیان معیار ناپایداری جریان و شرایط اولیه و مرزی برای شبیه‌سازی موج غلتی، با طرح یک آزمون کلاسیک شکست سد و مقایسه نتایج با حل تحلیلی موجود، توانایی مدل در شبیه‌سازی یک جریان ناپیوسته مورد ارزیابی قرار می‌گیرد. همچنین مقایسه‌ای از نتایج مدل عددی و حل تحلیلی برای یک موج غلتی ارائه خواهد گردید. آن‌چه کمتر در متون علمی پیشین مورد توجه قرار گرفته است چگونگی شکل‌گیری نیم‌رخ سطح آزاد در حالات آستانه‌ی رخداد و عدم رخداد موج غلتی می‌باشد. به همین منظور این پدیده‌ها در انتهای این نوشتار بررسی خواهند شد.

به احتمال قوی Thomas اولین محققی بود که امواج غلتی بزرگ دامنه (large-amplitude) به صورت تحلیلی توصیف نمود [11,16]. وی با در نظر گرفتن یک موج متناسب با شکل و سرعت ثابت، به تولید نظری نیم‌رخی شبیه به نیم‌رخ امواج غلتی Dressler پرداخت. بر مبنای ایده‌ی بنیادین این محقق، حلی بسته برای امواج غلتی دائمی در یک آبراهه‌ی عریض با اصطکاک ثابت ارائه داد [13]. پس از آن Brock به توسعه‌ی یک مدل نظری بر مبنای معادلات غیر خطی آب کم عمق (shallow water equations nonlinear) پرداخت [17]. این معادلات که بر فرض توزیع فشار هیدرو استاتیک و سرعت متوسط‌گیری شده در عمق استوارند برای شبیه‌سازی جریان‌هایی که در آن بعد عمودی جریان از بعد افقی آن بسیار کوچک‌تر است، به کار می‌روند. تاکنون محققان بسیاری بر پایه‌ی این معادلات به بررسی جنبه‌های مختلف شکل‌گیری و انتشار امواج غلتی پرداخته‌اند.

Liu و همکاران (۲۰۰۵) به کمک معادلات غیر خطی (rill flow) آب کم عمق به بررسی جریان شیاری (Bohorquez 2007) در چارچوب معادلات غیر خطی آب کم عمق، شکل‌گیری امواج غلتی در سیلان‌های خاک و تولید شیارهایی در سطح خاک می‌گردد. در این محققان بر مبنای کارهای گذشته [13,17] و با فرض برابری عمق متوسط جریان و عمق جریان یکنواخت، ضمن ارائه روابطی برای امواج غلتی، افزایش تنش برشی جریان را به همراه دارد و از همین روی سبب تسریع فرآیند فرسایش

که در آن Δx اندازه‌ی سلول محاسباتی و Δt گام زمانی می‌باشد. پایین نوشت Δ معرف مرکز سلول محاسباتی i (x_i) و بالا نوشت‌های $n+1$ و n به ترتیب نشان‌دهنده‌ی گام‌های زمانی معلوم و مجہول می‌باشند. $F_{i+1/2}$ و $F_{i-1/2}$ نیز که به شارهای بین سلولی موسوم‌مند، به ترتیب به شار عددی در نقاط $x = x_{i+1/2}$ (مرز بین سلول‌های i و $i+1$) و $x = x_{i-1/2}$ (مرز بین سلول‌های $i-1$ و i) اشاره می‌نمایند. در قسمت بعد به چگونگی تخمین این شارهای عددی پرداخته می‌شود.

الگوی شار متوسط وزن‌دار برای معادلات آب

کم عمق

تاکنون برای حل عددی دستگاه معادلات پایستار روش‌های گوناگونی طراحی شده و به کار رفته است. این روش‌ها عموماً در قالب روش‌های اجزای محدود، المان محدود و حجم محدود طبقه‌بندی می‌شوند. از این میان، روش حجم محدود از آن جایی که در حل جریان‌های ناپیوسته به عبارت‌های اضافی نظری لزجت مصنوعی نیاز ندارد و خاصیت پایستاری معادلات را به خوبی حفظ می‌نماید از مقبولیت بیشتری برخوردار است.

روش‌های گودانف (Godunov methods) که با حل مسئله‌ی ریمان در مرز هر سلول همراه می‌باشند و از جهات انتشار موج برای تخمین شار بین سلولی بهره می‌برند، یکی از مهم‌ترین زیرمجموعه‌های روش حجم محدود به شمار می‌روند. Brook و همکاران (1999) ضمن استفاده از روش گودانف برای حل جریان در لوله‌های تغییر‌شکل پذیر نشان دادند نتایج حاصل در مقایسه با الگوی تفاضل محدود مک‌کورمک (MacCormack) از دقت بیشتری برخوردار است [22].

در این مطالعه برای تخمین شار عددی از الگوی Weighted Average (WAF) شار متوسط وزن‌دار (Flux) که روشنی از نوع گودانف است و یک حل کننده

معادلات حاکم

معادلات آب کم عمق دارای کاربردهای وسیعی در مهندسی هیدرولیک و مهندسی سواحل می‌باشد. این معادلات که در واقع قوانین بقای جرم و اندازه حرکت را بیان می‌کنند، تاکنون در شبیه‌سازی پدیده‌هایی نظری امواج جذر و مد در مصب‌ها و آبهای ساحلی، انتشار امواج اُشتراک، انتشار و بالاروی امواج بلند، پرش هیدرولیکی ایستا و جریان رودخانه و مجاری باز، با موفقیت به کار گرفته شده‌اند. معادلات آب کم عمق در حالت پایستار (conservative form) و یک‌بعدی به

شكل زیر نوشته می‌شوند:

$$\frac{\partial V}{\partial t} + \frac{\partial F(V)}{\partial x} = S(V) \quad (1)$$

رابطه‌ی فوق در واقع دستگاهی از معادلات غیرخطی هذلولوی بوده که در آن V بردار متغیرهای پایستار، $F(V)$ بردار شار (flux vector) و $S(V)$ عبارت چشم‌مه (source term) نامیده می‌شوند:

$$V = \begin{bmatrix} h \\ hu \end{bmatrix}, \quad F(V) = \begin{bmatrix} hu \\ hu^2 + \frac{1}{2}gh^2 \end{bmatrix}, \\ S(V) = \begin{bmatrix} 0 \\ ghS_0 - C_f u^2 \end{bmatrix}. \quad (2)$$

در رابطه‌ی فوق g شتاب گرانش، x مختصات افقی، t زمان، $h=h(x,t)$ عمق آب، S_0 شیب بستر، $u=u(x,t)$ سرعت افقی متوسط‌گیری شده در عمق و C_f ضریب اصطکاک بستر می‌باشند [20]. معادله‌ی (1) تحت عنوان صورت دیفرانسیلی معادلات بقای جرم و بقای اندازه‌ی حرکت شناخته می‌شود و استفاده از آن تنها در مواردی که جواب‌ها هموار می‌باشند، صحیح است. هنگامی که یک ناپیوستگی در جریان وجود دارد، پایستی از حالت انتگرالی معادلات استفاده شود. معادله‌ی (1) پس از انتگرال‌گیری در حجم کنترل به صورت زیر قابل بیان است [21]:

$$\frac{V_i^{n+1} - V_i^n}{\Delta t} = -\frac{F_{i+1/2} - F_{i-1/2}}{\Delta x} + S_i \quad (3)$$

با تعریف عدد کورانت موج k به شکل $c_k = S_k \Delta t / \Delta x$ که در آن سرعت موج k می‌باشد، برای وزنهای w_k می‌توان نوشت:

$$w_k = \frac{1}{2}(c_k - c_{k-1}), \quad c_0 = -1, \quad c_{N+1} = 1 \quad (8)$$

در روابط (۸) و (۷)، N تعداد معادلات پایستار (برای دستگاه معادلات یک بعدی آب کم عمق) و $F_{i+1/2}^{(k)}$ بیانگر شار عددی در بازه k به طول $w_k \Delta x$ است (شکل ۲). با اعمال شرط موسوم به Total Variation (TVD) (Diminishing)، که متضمن جوابی عاری از نوسان غیر فیزیکی در نزدیکی نواحی ناپیوسته جریان است، رابطه (۷) به شکل زیر بازنویسی می‌گردد [21]:

$$F_{i+1/2}^{\text{TVD-WAF}} = \frac{1}{2}(F_i + F_{i+1}) - \frac{1}{2} \sum_{k=1}^N \text{sign}(c_k) \varphi_{i+1/2}^{(k)} \Delta F_{i+1/2}^{(k)} \quad (9)$$

که در آن $\text{sign}(\cdot)$ به تابع علامت اشاره می‌نماید. با تعریف شارهای $F_{i+1/2}^{(2)} = F(V^*)$ ، $F_{i+1/2}^{(1)} = F(V_L)$ و $F_{i+1/2}^{(3)} = F(V_R)$ ، پرس در شار عددی به شکل $\Delta F_{i+1/2}^{(k)} = F_{i+1/2}^{(k+1)} - F_{i+1/2}^{(k)}$ محاسبه می‌شود. در رابطه (۹)، $\varphi_{i+1/2}^{(k)}$ تابع محدود کننده شار جهت اعمال شرط TVD می‌باشد که با اعمال مقدار مناسب استهلاک عددی به الگوی WAF، یکنواهی (monotonicity) حل در نواحی دارای گرادیان زیاد را تضمین می‌نماید. تاکنون انتخاب‌های گوناگونی برای تابع محدود کننده شار پیشنهاد شده است [21]. در مطالعه‌ی حاضر از محدودکننده موسوم به SUPERBEE استفاده شده است:

$$\varphi_{i+1/2}^{(k)} = 1 - (1 - |c_k|) \max[0, \min(1, 2r^{(k)}), \min(2, r^{(k)})] \quad (10)$$

تقریبی مسئله‌ی ریمان به شمار می‌رود، استفاده گردیده است. بر اساس این الگو، شار عددی در مرز هر سلول به صورت ترکیبی وزن دار از شارهای مرکزی سلول‌های چپ و راست مرز و شار در ناحیه‌ی میانی موسوم به ناحیه‌ی ستاره تخمین زده می‌شود (شکل ۲). شار عددی در ناحیه‌ی ستاره $(V^*, F(V^*))$ ، با استفاده از حل Harten, Lax (HLL) (and van Leer) می‌شود. شار مرز و سرعت امواج به صورت زیر محاسبه می‌شود.

$$F(V^*) = \frac{S_R F(V_L) - S_L F(V_R) + S_R S_L (V_R - V_L)}{S_R - S_L} \quad (4)$$

که در آن $V_i = V_L = V_{i+1}$ و $S_L = S_{i+1}$ هم‌چنین S_R به ترتیب به سرعت موج در سمت چپ و راست مرز $i+1/2$ اشاره می‌کنند. برای تخمین این سرعت‌ها از روابط زیر استفاده می‌شود [23]:

$$S_R = \max(u_R + \sqrt{gh_R}, u^* + \sqrt{gh^*})$$

$$S_L = \min(u_L - \sqrt{gh_L}, u^* - \sqrt{gh^*}) \quad (5)$$

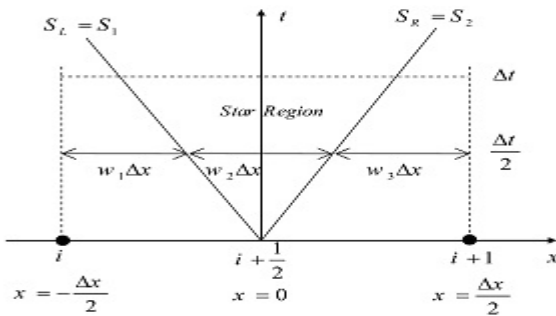
در عبارات فوق h^* و u^* به ترتیب مقادیر عمق و سرعت جریان در ناحیه ستاره می‌باشند که به صورت زیر قابل محاسبه‌اند:

$$h^* = \frac{1}{g} \left[\frac{1}{2} (\sqrt{gh_L} + \sqrt{gh_R}) + \frac{1}{4} (u_L - u_R) \right]^2$$

$$u^* = \frac{1}{2} (u_L + u_R) + \sqrt{gh_L} - \sqrt{gh_R} \quad (6)$$

برای ساختاری شبیه به آنچه در شکل (۲) نشان داده شده است، شار WAF در مرز $i+1/2$ به صورت زیر قابل بیان است [21]:

$$F_{i+1/2}^{\text{WAF}} = \sum_{k=1}^{N+1} w_k F_{i+1/2}^{(k)} \quad (7)$$



شکل ۲ ساختار الگوی WAF در مرز سلول محاسباتی برای حل معادلات یکبعدی آب کم عمق

از سه معادله‌ی مقدار اولیه است در الگویی متواالی حل

می‌گردد.

$$\begin{aligned} \text{ODEs: } & \frac{dV}{dt} = S(V) \\ \text{ICs: } & V^n \\ \text{PDEs: } & \frac{\partial V}{\partial t} + \frac{\partial F}{\partial x} = 0 \\ \text{ICs: } & V^{(1)} \end{aligned} \left. \begin{array}{l} \xrightarrow{\Delta t'} V^{(1)} \\ \xrightarrow{\Delta t} V^{(2)} \end{array} \right\} \quad (12)$$

$$r^{(k)} = \begin{cases} \frac{\Delta h_{i-1/2}^{(k)}}{\Delta h_{i+1/2}^{(k)}} & \text{for } c_k > 0, \\ \frac{\Delta h_{i+3/2}^{(k)}}{\Delta h_{i+1/2}^{(k)}} & \text{otherwise.} \end{cases} \quad (11)$$

در رابطه‌ی فوق، $\alpha = -\frac{1}{2}, \frac{1}{2}, \frac{3}{2}$ در متغیر h در خلال موج k می‌باشد [21]. شایان ذکر است که روش WAF با اعمال اندکی تغییر در سرعت‌های موج، به راحتی برای مسائلی که بخشی از ناحیه‌ی محاسباتی در ابتدا یا در خلال محاسبات خشک می‌باشد، قابل استفاده است. به عنوان نمونه می‌توان از این روش برای شبیه‌سازی مرز متحرک خط ساحلی و مطالعه‌ی پدیده‌های انتشار و بالاروی امواج منفرد بهره جست [24].

که در آن $\Delta t/2 = \Delta t'$ می‌باشد. فرآیند حل سه مرحله‌ای دستگاه فوق بدین نحو قابل تشریح است: در مرحله‌ی اول با استفاده از مقادیر جریان در گام زمانی قبل به عنوان شرط اولیه، یک معادله‌ی دیفرانسیل معمولی که در برگیرنده‌ی عبارت چشممه است، حل می‌گردد و شرط اولیه الگوی WAF به دست می‌آید. خروجی الگوی WAF در مرحله‌ی دوم، به عنوان شرط اولیه در مرحله سوم برای حل معادله‌ی نظری مرحله‌ی اول اعمال می‌گردد تا مقدار متغیرهای جریان در گام جدید زمانی حاصل شود. به طور خلاصه این فرآیند حل به شکل $V^{n+1} = A^{(\Delta t')} H^{(\Delta t')} A^{(\Delta t')} V^n$ نیز قابل بیان است که در آن A و H به ترتیب عملگر عبارت چشممه و عملگر معادله‌ی همگن نامیده می‌شوند. در مطالعه‌ی کوتاهی از الگوی انتگرال‌گیری ذوزنقه‌ای برای حل معادلات چشممه (مراحل اول و سوم) استفاده

پیاده‌سازی عبارت چشممه در الگوی عددی

آنچه در بخش پیشین به تفصیل بیان گردید، تنها برای صورت همگن معادلات آب کم عمق (یعنی $S(V) = 0$) قابل استفاده است. در حضور عبارت چشممه، می‌توان الگوی WAF را بدون تغییر به کار برد به شرطی که عبارت چشممه طی یک یا چند گام جداگانه انتگرال‌گیری، وارد محاسبات گردد [21, 24]. در مطالعه‌ی حاضر برای دست‌یابی به دقت مرتبه‌ی دوم در زمان، دستگاه معادلات زیر که متشکل

$$S_0 > 4C_f \quad (16)$$

رابطه فوق که نشان دهندهٔ شرایط ناپایدار جریان است، در حقیقت بیانگر عدول از معیار پایداری جریان یکنواخت ($2\sqrt{gh_0} \leq u_0$) می‌باشد. این معیار براساس تحلیل خطی پایداری استوار است.

شرایط اولیه و مرزی برای شبیه سازی امواج غلتی

همان‌طور که قبلاً اشاره شد امواج غلتی با اعمال یک اغتشاش به جریان ناپایدار به وجود می‌آیند. با در نظر گرفتن شکل سینوسی برای این اغتشاش، شرایط اولیهٔ عمق جریان عبارت است از:

$$h(x, 0) = h_0 [1 + \varepsilon \sin(k_w x)] \quad (17)$$

که در آن k_w به حاصل ضرب عدد موج (wavenumber) در عدد 2π اشاره می‌نماید و ε عامل بزرگ‌نمایی (amplification factor) اغتشاش اولیهٔ می‌باشد که برابر است با نسبت دامنهٔ اغتشاش به عمق جریان اولیهٔ یکنواخت. در محاسبات صورت پذیرفته در این تحقیق عامل بزرگ‌نمایی برابر با 0.05% عمق اولیهٔ جریان یکنواخت در نظر گرفته شده است به عبارت دیگر $\varepsilon = 0.005$ می‌باشد. همچنان سرعت اولیهٔ جریان به شکل زیر اعمال می‌شود [20]:

$$u(x, 0) = u_0 + r_p \varepsilon \sin(k_w x + \theta_p) \quad (18)$$

که در آن دو متغیر θ_p اختلاف فاز میان عمق و سرعت اغتشاش و ضریب r_p ، هر دو توابعی از سرعت اولیهٔ جریان یکنواخت و عدد موج و فرکانس زاویه‌ای اغتشاش می‌باشند [20]. در مدل عددی، شرایط مرزی در دو انتهای چپ و راست دامنهٔ محاسباتی به صورت دوره‌ای (periodic) در نظر گرفته شده است. بر این اساس در هر لحظه مقادیر متغیرهای جریان در دو مرز انتهایی با یکدیگر برابر می‌باشد. به عبارت دیگر:

گردیده است. این عملگر ضمنی دارای دقتی از مرتبهٔ دو است و برای معادلهٔ مرحله‌ی اول با رابطهٔ زیر داده می‌شود (پیوست الف):

$$\left[I - \frac{\Delta t'}{2} \left(\frac{\partial S(V)}{\partial V} \right)_i^n \right] \Delta V_i = \Delta t' S(V_i^n) \quad (13)$$

که در آن I ماتریس واحد است و $V_i^{(1)} - V_i^n$ معرف پرش در متغیرهای پایستار می‌باشد. عبارت $\partial S(V)/\partial V$ در سمت چپ رابطهٔ فوق بیانگر ماتریس ژاکوبین بردار چشمی می‌باشد.

معیار پایداری محاسبات

از آنجایی که الگوی WAF، الگوی صریح می‌باشد، پایداری محاسبات با اعمال معیار کورانت-فردریش-لویی (CFL) بر مقدار گام زمانی تأمین می‌شود.

$$\Delta t = C_n \min_i \frac{\Delta x}{|u_i| + \sqrt{gh_i}}, \quad 0 < C_n \leq 1 \quad (14)$$

که در آن C_n عدد CFL می‌باشد. رابطهٔ فوق بیان می‌کند که در یک گام زمانی موج نباید مسافتی بیش از طول یک گام مکانی را طی کند.

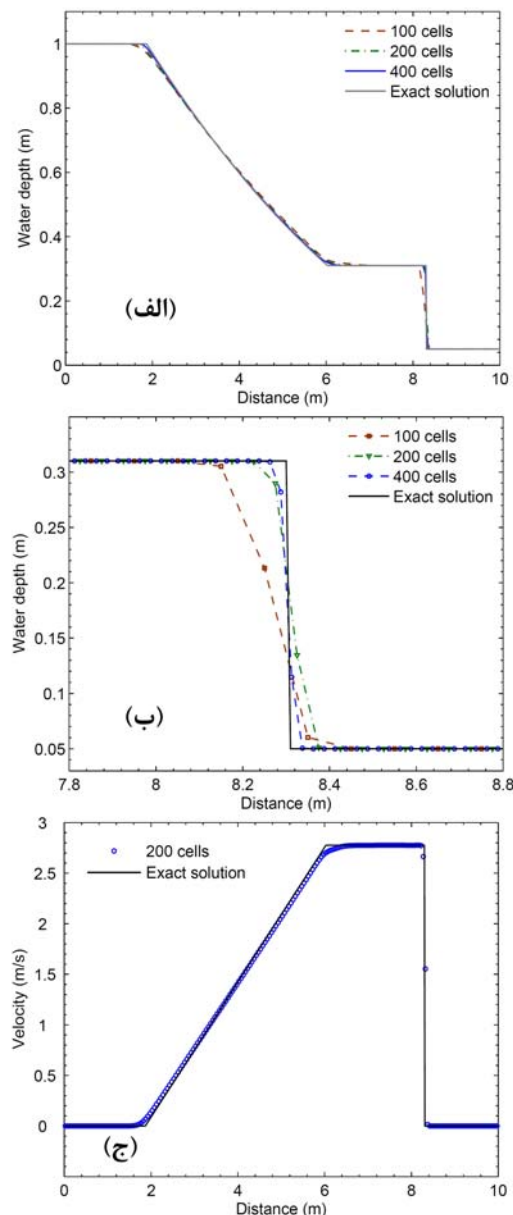
شرایط هیدرولیکی جریان ناپایدار

حل جریان یکنواخت به صورت $h = h_0$ و $u = u_0$ برای معادلات غیر خطی آب کم عمق از توازن میان نیروهای گرانش و اصطکاک بر روی یک شیب ثابت حاصل می‌شود به نحوی که:

$$gh_0 S_0 = C_f u_0^2 \quad (15)$$

امواج غلتی معمولاً بر روی آبراهه‌های دارای شیب تندری با عدد فرود جریان بزرگ‌تر از $2(\sqrt{gh_0} > u_0)$ اتفاق می‌افتد [1]. این موضوع با توجه به رابطهٔ (15) به شکل زیر قابل بیان است.

افزایش دقت مدل با زیاد شدن تعداد سلول‌های محاسباتی به روشی قابل مشاهده است. همچنین نتایج شبیه‌سازی سرعت جریان در زمان $t = 1.0 \text{ s}$ در شکل (۳-ج) با جواب تحلیلی مقایسه شده است. تطابق میان نتایج این آزمون و حل تحلیلی، تأکیدی بر ویژگی تسخیر شوک مدل ارائه شده می‌باشد.



شکل ۳ (الف): نیمرخ طولی موج ناشی از شکست سد، ب: جریانات جبهه‌ی موج، ج: سرعت جریان در زمان $t = 1.0 \text{ s}$

$$V(x_L, t) = V(x_R, t) \quad (19)$$

که در آن x_L و x_R به ترتیب به مختصات مرزهای چپ و راست ناحیه‌ی حل اشاره می‌نمایند. در تحقیقی Zanuttigh and Lamberti (2002) به کمک روش WAF به مطالعه‌ی امواج غلتاشی پرداختند [25]. مدل این محققان به داده‌های سرعت و دامنه‌ی موج غلتاشی به عنوان شرط مرزی بالادست نیازمند می‌باشد و این در حالی است که مدل توسعه یافته در مطالعه‌ی حاضر با توجه به شرط مرزی اعمالی رابطه‌ی (۱۹) به داده‌های یادشده نیازی ندارد و این شرط مرزی با خاصیت دوره‌ای امواج غلتاشی هم خوانی دارد.

نتایج و بحث

شکست سد. بررسی امواج ناشی از شکست سد، یک مسئله‌ی بسیار جالب نظری و در عین حال کاربردی در مهندسی هیدرولیک می‌باشد. به عنوان اولین آزمون محاسباتی، الگوی عددی ارائه شده برای شبیه‌سازی امواج ناشی از شکست سد به کار می‌رود. در این مثال، آب ساکن بالادست به عمق $h_1 = 1.0 \text{ m}$ به وسیله‌ی یک دیواره‌ی قائم (سد) که در وسط کanalی به طول $L = 10 \text{ m}$ قرار دارد، از آب ساکن پایین دست به عمق $h_2 = 0.05 \text{ m}$ جدا می‌شود. در این حالت نسبت عمق آب پایین دست به بالادست برابر با $h_2/h_1 = 0.05$ می‌باشد و مرزهای چپ و راست دامنه‌ی محاسباتی با شرط مرزی غیر بازتابی (non-reflective) در مدل عددی گنجانده می‌شوند. در لحظه‌ی $t = 0$ دیواره به صورت ناگهانی برداشته می‌شود و یک موج اُشتراک به سمت پایین دست و یک موج منفی به سمت بالادست انتشار می‌یابند. مقایسه‌ی نتایج حاصل از شبیه‌سازی عددی برای نیمرخ سطح آزاد جریان در زمان $t = 1.0 \text{ s}$ با حل دقیق [21] در شکل (۳-الف) نشان می‌دهد که الگوی عددی ارائه شده به خوبی قادر به شبیه‌سازی ناپیوستگی عمق در جبهه‌ی اُشتراک می‌باشد. در شکل (۳-ب) روند

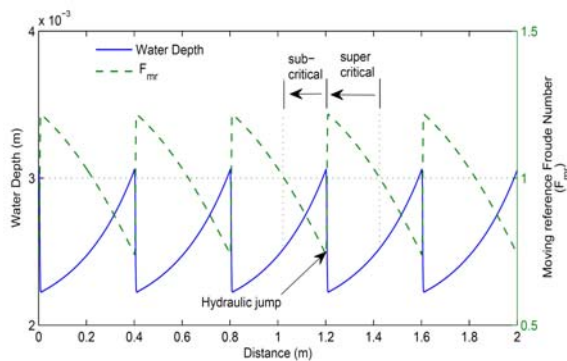
جريان فوق بحرانی قبل از پرش می‌انجامد. به همین منظور بایستی نیروی مخصوص بعد از پرش نیز افزایش یابد تا تعادل نیروی مخصوص (با احتساب نیروی اصطکاک بستر) برقرار گردد. بهروشی افزایش نیروی مخصوص بعد از پرش سبب می‌شود که جريان زیر بحرانی عمق بیشتر و عدد F_{mr} کمتری را تجربه نماید (در شکل ۷). همان‌گونه که نتایج نشان می‌دهد برای حالت آستانه رخداد موج غلتی، جريان از دیدگاه ناظر متحرک، بحرانی ($F_{mr}(\min) = F_{mr}(\max) = 1$) خواهد بود.

مقایسه‌ی تاریخچه‌ی زمانی عمق و سرعت جريان در وسط آبراهه ($x = 1.0 \text{ m}$) در شکل (۸) حاکی از تطابق رضایت‌بخش نتایج مدل حاضر با نتایج مدل [20] Que and Xu می‌باشد. هم‌چنین این محققان با فرض تغییرات نمایی دامنه‌ی اغتشاش، یک رابطه‌ی لگاریتمی برای رشد و زوال دامنه‌ی موج به‌دست آوردند که در محدوده‌ی خطی صادق است و لگاریتم طبیعی دامنه‌ی موج را به صورت تابعی خطی از زمان بیان می‌کند. با این وجود، با گذشت زمان و اهمیت یافتن اثرات غیرخطی، رشد دامنه‌ی موج کُند می‌گردد و در نهایت متوقف می‌شود. این موضوع در شکل (۹)، که لگاریتم طبیعی دامنه‌ی موج بر حسب زمان برای اعداد فرود مختلف را نشان می‌دهد، به خوبی نمایان است. شرایط جريان و اغتشاش درست مانند حالت قبل در نظر گرفته شده‌اند. در زمان‌های اولیه، تغییرات زمانی دامنه‌ی موج تطبیقی قابل قبول با رابطه‌ی تحلیلی ارائه شده در [20] نشان می‌دهد، حال آن‌که با گذشت زمان دامنه‌ی موج به مقدار ثابتی می‌رسد. بازه‌ی زمانی بروز رفتار خطی موج با کاهش عدد فرود جريان یکنواخت، طولانی‌تر می‌شود. برای فراهم آوردن امکان مقایسه در ناحیه‌ی غیرخطی، نتایج مدل BGK نیز در شکل (۹) آورده شده است. همان‌طور که مشاهده می‌شود هر دو مدل در پیش‌بینی دامنه‌ی موج تکامل‌یافته برای اعداد فرود مختلف جواب‌های یکسانی به‌دست داده‌اند.

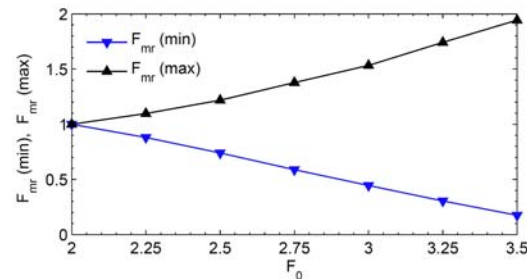
شبیه‌سازی موج غلتی

در این بخش الگوی عددی پیشنهادی برای مدل‌سازی استفاده قرار می‌گیرد. یک جريان دائم یکنواخت با شرایط $F_0 = 2.5$ ، $C_f = 0.006$ و $q_0 = 0.001 \text{ m}^2\text{s}^{-1}$ در لحظه‌ی $t = 0$ تحت اغتشاشی با مشخصات $k_w = 10\pi$ و $\epsilon = 0.005$ قرار دارد. شبیه‌سازی با رابطه‌ی (۱۵) برابر با $S_0 = 0.0375$ محاسبه گردیده و دامنه‌ی محاسباتی به طول $L = 2.0 \text{ m}$ با اختصاص $x_L = 0$ و $x_R = 2.0 \text{ m}$ تعریف می‌شود. در شکل (۴)، تکامل این اغتشاش و روند شکل‌گیری موج غلتی در زمان‌های مختلف به تصویر کشیده شده است. پس از گذشت زمان موج به تکامل نهایی خود رسیده و قطار موج متشکل از پنج موج متوالی، بدون تغییر شکل با سرعت ثابت در طول آبراهه به پایین دست انتشار می‌یابد. نیم‌رخ این قطار موج و سرعت جريان در شکل (۵) با حل تحلیلی ارائه شده در [13] مقایسه شده‌اند. بیشینه خطای محاسباتی (یعنی: $\max(|h_{numerical} - h_{analytical}| / h_{analytical})$) در حضیض موج رخ می‌دهد و برابر با ۷٪ می‌باشد.

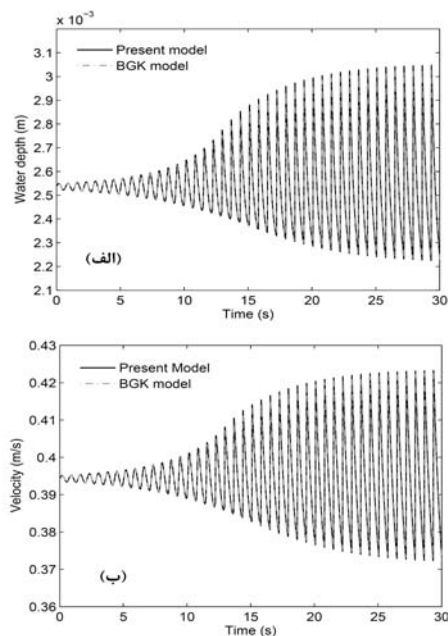
همان‌طور که در بخش مقدمه بیان شد، شکل‌گیری امواج غلتی با تغییرات متوالی رژیم جريان در طول آبراهه همراه است. تحت همان شرایط جريان و اغتشاش پیشین، چنانچه ناظری با سرعت موج غلتی با جريان حرکت نماید، عدد فرود جريان از دیدگاه وی مطابق با آن‌چه که در شکل (۶) به تصویر کشیده شده تغییر می‌نماید. تحت شرایط مذکور، سرعت ثابت حرکت موج غلتی برابر با $c = 0.55 \text{ ms}^{-1}$ می‌باشد. هم‌چنین نتایج نشان می‌دهد که با افزایش عدد فرود جريان اولیه F_0 ، عدد فرود از دیدگاه ناظر متحرک $F_{mr} = (c - u) / \sqrt{gh}$ در محدوده‌ی وسیع تری تغییر می‌نماید (شکل ۷). دلیل این امر این است که افزایش F_0 سبب افزایش F_{mr} فوق بحرانی ($F_{mr}(\max)$) در شکل (۷) و نیروی مخصوص (specific force) قبل از پرش هیدرولیکی می‌گردد و این عامل به کاهش عمق



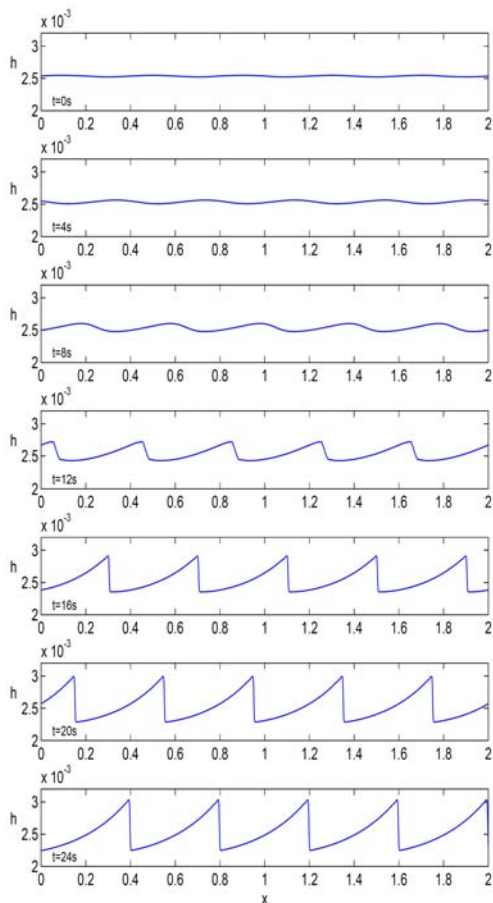
شکل ۶ نیم رخ موج غلتی و عدد فرود جریان محاسبه شده در چارچوب متحرک متصل به موج غلتی



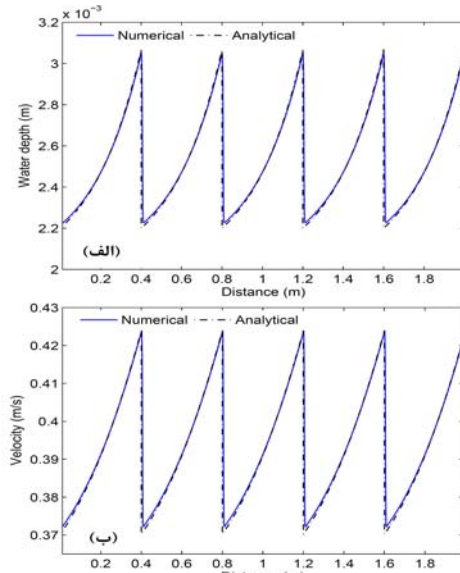
شکل ۷ بیشینه و کمینه عدد فرود جریان محاسبه شده در چارچوب متحرک متصل به موج غلتی به عنوان تابعی از عدد فرود جریان یکنواخت



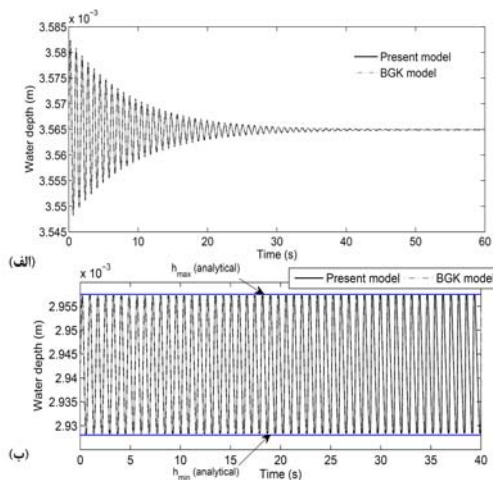
شکل ۸ مقایسه نتایج مدل عددی حاضر و الگوی BGK برای (الف): تاریخچه زمانی عمق جریان و (ب): تغییرات زمانی سرعت جریان در وسط آبراههای به طول $L = 2.0 \text{ m}$



شکل ۴ تکامل زمانی نیم رخ موج غلتی برای جریان و اغتشاشی با مشخصات: $q_0 = 0.001 \text{ m}^2 \text{s}^{-1}$, $F_0 = 2.5$, $\varepsilon = 0.005$, $k_w = 10\pi$, $C_f = 0.006$ حسب متر می باشد)



شکل ۵ مقایسه نتایج مدل عددی و حل تحلیلی [13] برای (الف): نیم رخ سطح آزاد و (ب): سرعت جریان در طول آبراهه

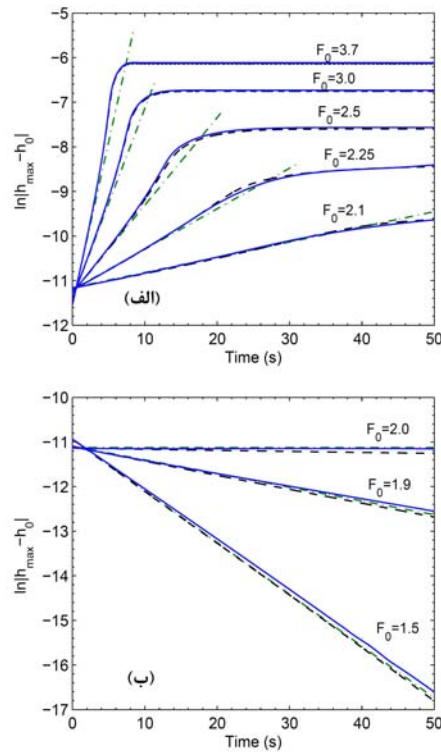


شکل ۱۱ مقایسه نتایج مدل حاضر و الگوی BGK برای

تاریخچه زمانی عمق جریان در وسط آبراهه. (الف):

$$F_0 = 2, F_0 = 1.5$$

در حالت حدی $F_0 = 2$ که آستانه‌ی رخداد موج غلتشی به شمار می‌رود، همان‌گونه که انتظار می‌رود هیچ‌گونه تغییری در دامنه‌ی موج شبیه‌سازی شده به وجود نیامده است. هم‌چنین برای اعداد فرود کوچک‌تر از این مقدار حدی، تغییرات دامنه‌ی موج نسبت به زمان دارای سیری نزولی می‌باشد. این زوال دامنه به همراه آستانه‌ی رخداد موج غلتشی در شکل (۱۰) در قالب نیمرخ‌های سطح آزاد جریان به تصویر کشیده شده‌اند. بهروشی در حالت $F_0 = 1.5$ ، همان‌طور که شرایط جریان پایدار ایجاب می‌نماید، دامنه‌ی اغتشاش با گذشت زمان مستهلک گشته و از بین رفته است (شکل ۱۰-الف). حال آن‌که برای $F_0 = 2$ ، هرچند تقارن اولیه‌ی موج تاحدودی دست‌خوش تغییر گردیده است (این موضوع در نتایج مدل BGK نیز دیده می‌شود)، نیمرخی با دامنه‌ی ثابت نسبت به زمان مشاهده می‌شود (شکل ۱۰-ب). برای حالات نشان داده شده در شکل (۱۰)، تغییرات زمانی عمق جریان در وسط آبراهه با آن‌چه که مدل BGK به دست داده است، در شکل (۱۱) مقایسه گردیده است. برای حالت $F_0 = 1.5$ این دو الگو زوال دامنه



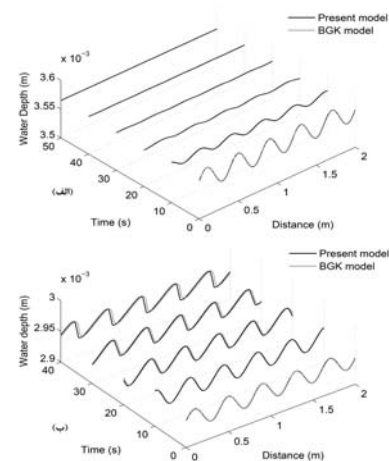
شکل ۹ الف و ب: لگاریتم طبیعی دامنه‌ی موج به عنوان تابعی از

زمان برای اعداد فرود مختلف و پارامترهای:

$$k_w = 10\pi, C_f = 0.006, q_0 = 0.001 \text{ m}^2 \text{s}^{-1}$$

و $\epsilon = 0.005$: مدل عددی حاضر، (—): رابطه‌ی

تحلیلی و (-): مدل عددی [BGK]



شکل ۱۰ نیمرخ سطح آزاد در طول آبراهه به صورت تابعی از

زمان و مقایسه آن با مدل BGK. (الف): اضمحلال اغتشاش

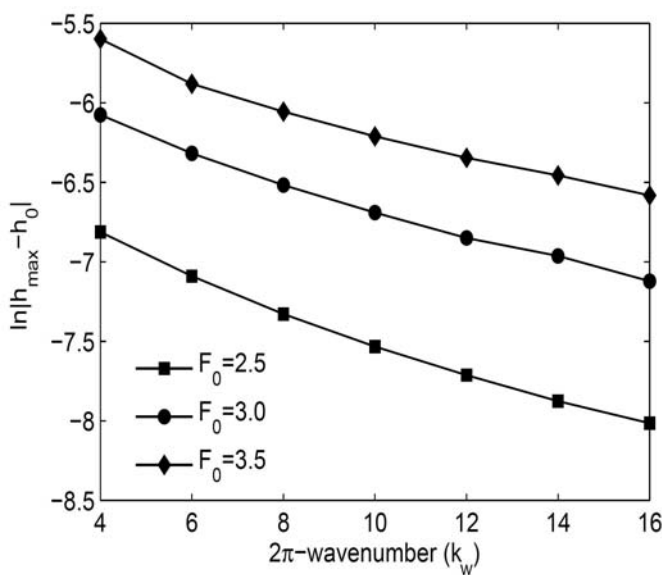
برای $F_0 = 1.5$ و (ب): آستانه‌ی رخداد موج غلتشی در

$$F_0 = 2$$

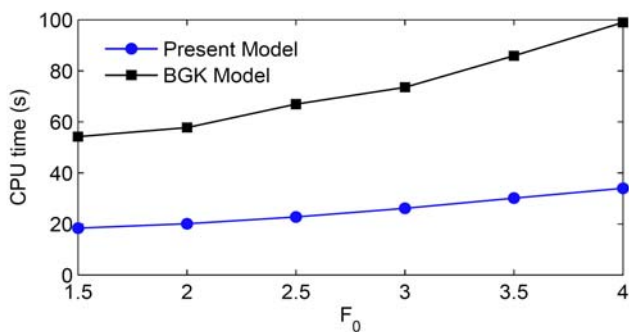
Lukáčová-Medviďová and Teschke (2006) ضمن انجام مقایسه بین الگوهای مختلف حل عددی معادلات آب کم عمق بر اهمیت زمان مورد نیاز برای انجام محاسبات رایانه‌ای (زمان پردازنده‌ی مرکزی: CPU time) تأکید و از آن به عنوان معیاری جهت ارزیابی بهینه بودن مدل عددی یاد کردند [26]. به همین منظور در این مطالعه مقایسه‌ای میان زمان پردازنده‌ی مرکزی مدل حاضر و مدل BGK تحت شرایط مشابه جریان صورت پذیرفت. برای انجام این مقایسه ۵۰ ثانیه از جریان با استفاده از ۱۰۰۰ سلول محاسباتی و عدد CFL برابر با $C_n = 0.65$ توسط این دو مدل بر روی رایانه‌ای با پردازنده‌ی مرکزی ۳.۲۰GHz شیوه‌سازی گردید. برنامه‌ها تحت شرایطی یکسان در محیط FORTRAN ۹۰ اجرا شدند. همان‌طور که نتایج این مقایسه در شکل (۱۳) نشان می‌دهد، الگوی پیشنهادی در این مطالعه به زمان اجرایی حدوداً یک‌سوم زمان اجرای مدل BGK برای حل مسائل مشابه احتیاج دارد.

اغتشاش را با روندی مشابه و تطبیقی قابل قبول پیش‌بینی کردند (شکل ۱۱-الف). دو خط افقی بالا و پایین در شکل (۱۱-ب) بیشینه و کمینه‌ی عمق را مطابق با دیدگاه نظری نشان می‌دهند. بر این اساس، بیشینه و کمینه‌ی عمق برای آستانه‌ی رخداد موج غلتاشی به ترتیب با روابط $h_{\max} = (1+\varepsilon)h_0$ و $h_{\min} = (1-\varepsilon)h_0$ قابل بیان می‌باشند. همان‌طور که در شکل (۱۱-ب) مشاهده می‌شود، مدل حاضر عدم رشد و عدم زوال دامنه (دامنه ثابت) برای آستانه‌ی رخداد موج غلتاشی را تا حدودی بهتر شبیه‌سازی نموده است.

شکل (۱۲) لگاریتم طبیعی دامنه‌ی موج بر حسب پارامتر k_w (حاصل ضرب عدد موج در عدد 2π) برای اعداد فرود مختلف را نشان می‌دهد. نتایج حاکی از آن است که به ازای هر عدد فرود ثابت، افزایش k_w با کاهش دامنه‌ی موج همراه است. شایان ذکر است که افزایش عدد موج به معنی کاهش طول موج می‌باشد. علاوه بر این، به ازای هر k_w ثابت، افزایش عدد فرود سبب افزایش دامنه‌ی موج غلتاشی گردیده است.



شکل ۱۲ لگاریتم طبیعی دامنه‌ی موج به عنوان تابعی از k_w برای اعداد فرود مختلف



شکل ۱۳ زمان مصرفی پردازنده‌ی مرکزی جهت شبیه‌سازی پنجاه ثانیه از جریان برای اعداد مختلف فرود اولیه با استفاده از مدل حاضر و الگوی BGK

نسبت به پارامتر k (حاصل ضرب عدد موج در عدد 2π) بررسی گردید و نشان داده شد که بهمازای هر عدد فرود ثابت با افزایش طول موج غلتشی دامنه‌ی موج نیز افزایش می‌یابد. علاوه بر آن، نتایج حاکی از آن است که با افزایش عدد فرود جریان اولیه F_0 ، عدد فرود از دیدگاه ناظر متحرک F_{mr} در محدوده‌ای گسترده‌تر تغییر می‌نماید که این به معنی عمیق‌تر شدن حضیض موج و افزایش ارتفاع قله‌ی موج است. دو موضوع اخیر در متون علمی پیشین کم‌تر مورد اشاره قرار گرفته است.

استفاده از الگوی حاضر و الگوی BGK برای بررسی تغییرات زمانی دامنه‌ی موج حاکی از تطابق نتایج این دو الگو برای اعداد فرود مختلف می‌باشد. این در حالی است که الگوی پیشنهادی در پیاده‌سازی رایانه‌ای بسیار ساده‌تر است و برای شبیه‌سازی یک جریان حاوی ناپیوستگی نظری امواج غلتشی به زمان محاسباتی نسبتاً ناچیزی نیاز دارد.

سپاسگزاری

بدین‌وسیله نویسنده‌گان مقاله از آقای Yin-Tik Que و پروفسور Kun Xu از دانشگاه علم و فناوری هونگ کنگ (HKUST) به خاطر در اختیار گذاشتن مدل عددی BGK قدردانی می‌نمایند.

پیوست الف: استخراج رابطه‌ی عملگر چشم

جمع‌بندی و نتیجه‌گیری

مدل عددی ارائه شده در این مطالعه، از الگوی شار متوسط وزن‌دار برای تخمین شار عددی و یک الگوی ضمنی برای پیاده‌سازی عبارت چشممه در معادلات یک‌بعدی آب کم عمق در حالت پایستار بهره می‌برد. مدل توسعه‌یافته بدون نیاز به هرگونه عبارت اضافی نظیر لزجت مصنوعی، که تعیین آن معمولاً با سعی و خطأ توانم است، قادر است که هر گونه ناپیوستگی در متغیرهای جریان را به نحوی مؤثر در تعداد نسبتاً کمی سلول محاسباتی حل نماید. طرح یک مسئله‌ی کلاسیک شکست سد و مقایسه‌ی نتایج مدل با حل تحلیلی موجود نشان داد که علاوه بر سرعت جریان، هم جبهه قائم موج اشتراک و هم نواحی ملایم نیم‌رخ موج منفی به خوبی شبیه‌سازی گردیده‌اند. بررسی فرآیند تکامل اغتشاش و شکل‌گیری موج غلتشی در چارچوب یک مسئله مقدار اولیه و مقایسه نتایج حاصل با حل تحلیلی موجود، حاکی از توانایی الگوی پیشنهادی در مدل سازی عمق و سرعت جریان می‌باشد. شبیه‌سازی جریان برای مقدار آستانه‌ی رخداد ناپایداری، به ایجاد نیم‌رخی بدون رشد در دامنه انجامید و این در حالی است که برای اعداد فرود کوچک‌تر از مقدار آستانه، اغتشاش به‌طور کامل از بین رفته و جریان پایداری خود را حفظ می‌کند.

چگونگی تغییرات لگاریتم طبیعی دامنه‌ی موج

$$\frac{\partial V}{\partial t} \approx \frac{V_i^{(1)} - V_i^n}{\Delta t'} \quad (\text{الف-}4)$$

با معرفی $\Delta V_i = V_i^{(1)} - V_i^n$ و جایگذاری روابط (الف-۲) و (الف-۴) در رابطه (الف-۱)، بسط تیلور عبارت چشمی به شکل زیر بازنویسی می‌شود:

$$S(V_i^{(1)}) = S(V_i^n) + \left(\frac{\partial S(V)}{\partial V} \right)_i^n \Delta V_i + O(\Delta t')^2 \quad (\text{الف-}5)$$

در همین حال طبق قاعده‌ی انتگرال‌گیری ذوزنقه‌ای می‌توان نوشت:

$$V_i^{(1)} = V_i^n + \frac{\Delta t'}{2} [S(V_i^{(1)}) + S(V_i^n)] \quad (\text{الف-}6)$$

با جایگذاری رابطه‌ی (الف-۵) در رابطه‌ی (الف-۶) و پس از اندکی عملیات جبری، عملگر چشمی برای معادله‌ی اول از دستگاه معادلات (۱۲) حاصل می‌گردد:

$$\left[I - \frac{\Delta t'}{2} \left(\frac{\partial S(V)}{\partial V} \right)_i^n \right] \Delta V_i = \Delta t' S(V_i^n) \quad (\text{الف-}7)$$

که در آن I ماتریس واحد می‌باشد.

در این قسمت چگونگی به دست آوردن رابطه‌ی عملگر چشمی رابطه‌ی (۱۳) تشریح می‌گردد. این عملگر ضمنی برای حل معادله‌ی دیفرانسیل معمولی برای نیل به این هدف در اولین گام، عبارت چشمی به کمک بسط تیلور تقریب زده می‌شود:

$$S(V_i^{(1)}) = S(V_i^n) + \left(\frac{\partial S(V)}{\partial t} \right)_i^n \Delta t' + O(\Delta t')^2 \quad (\text{الف-}1)$$

از طرفی به کمک قاعده‌ی مشتق زنجیره‌ای می‌توان نوشت:

$$\frac{\partial S(V)}{\partial t} = \frac{\partial S(V)}{\partial V} \times \frac{\partial V}{\partial t} \quad (\text{الف-}2)$$

در رابطه‌ی فوق $\partial S(V)/\partial V$ ، ماتریس ژاکوبین بردار چشمی است که با رابطه‌ی (الف-۳) محاسبه می‌شود:

$$\frac{\partial S(V)}{\partial V} = \begin{bmatrix} 0 & 0 \\ gS_0 & -\frac{2C_f u}{h} \end{bmatrix} \quad (\text{الف-}3)$$

مشتق زمانی بردار متغیر پایستار با استفاده از روش تفاضل محدود قابل محاسبه است:

مراجع

1. Brock, R. R., "Development of roll-wave trains in open channels", *J. Hydraul. Div.*, 95(4), pp. 1401–1427, (1969).
2. Montes, S., "Hydraulics of Open Channel Flow", ASCE Press, USA, (1998).
3. Balmforth, N. J. and Mandre, S., "Dynamics of roll waves" *J. Fluid Mech.*, 514, pp. 1–33, (2004).
4. Woods, B. D., Hurlburt, E. T., and Hanratty, T. J., "Mechanism of slug formation in downwardly inclined pipes", *Intl. J. Multiphase Flow*, 26, pp. 977–99, (2000).
5. Engelund, F. and Zhaohui, W., "Instability of hyperconcentrated flow", *J. Hydraul. Eng.*, 110(3), pp. 219–233, (1984).
6. Pedley, T. J., "The Fluid Mechanics of Large Blood Vessels", Cambridge University Press, UK, (1980).

7. Benjamin, T. B., "Wave formation in laminar flow down an inclined plane", *J. Fluid Mech.*, 2, pp. 554–573, (1957).
8. Yih, C. S., "Stability of liquid flow down an inclined plane", *Phys. Fluids*, 6(3), pp. 321–334, (1963).
9. Stoker, J. J., "Water Waves: The Mathematical Theory with Applications", Interscience, New York, (1957).
10. Cornish, V., "Ocean Waves and Kindred Geophysical Phenomena", Cambridge University Press, London, (1934).
11. Thomas, H. A., "The propagation of stable wave configurations in steep channels", Carnegie Institute of Technology, Pittsburgh, (1937).
12. Rouse, H., "Fluid Mechanics for Hydraulic Engineers", McGraw-Hill, New York, (1938).
13. Dressler, R. F., "Mathematical solution of the problem of roll waves in inclined channel flows", *Commun. Pure Appl. Maths*, 2, pp. 149–194, (1949).
14. Yoon, Y.N. and Wenzel Jr., H.G., "Mechanics of sheet flow under simulated rainfall", *J. Hydraul. Div.*, 97(9), pp. 1367–1386, (1971).
15. Emmett, W. W., "Overland flow", Hillslope Hydrology, Kirkby, M. J. (editor), Wiley, New York, pp. 145–175, (1978).
16. Thomas, H. A., "The propagation of waves in steep prismatic conduits", *Proc. Hydraulics Conf.*, Univ. of Iowa, pp. 214–229, (1939).
17. Brock, R. R., "Periodic permanent roll waves", *J. Hydraul. Div.*, 96(12), pp. 2565–2580, (1970).
18. Liu, Q. Q., Chen, L., Li, J. C., and Singh, V. P., "Roll waves in overland flow", *J. Hydrol. Eng.*, 10(2), pp. 110–117, (2005).
19. Bohorquez, P., "Roll waves in floods on inclines", *Proc. Numerical Modelling of Hydrodynamics for Water Resources*, Garcia-Navarro, P., Playan, E. (editors), pp. 361–366, (2007).
20. Que, Y.-T. and Xu, K., "The numerical study of roll-waves in inclined open channels and solitary wave run-up", *Int. J. Numer. Meth. Fluids*, 50(9), pp. 1003–1027, (2006).
21. Toro, E.F., "Shock-Capturing Methods for Free-Surface Shallow Flows", Wiley, Chichester, UK, (2001).
22. Brook, B. S., Falle, S. A. E. G., and Pedley, T. J., "Numerical solutions for unsteady gravity-driven flows in collapsible tubes: evolution and roll-wave instability of a steady state", *J. Fluid Mech.*, 396, pp. 223–256, (1999).
23. Toro, E. F., "Riemann problems and the WAF method for solving the two-dimensional shallow water equations", *Philos. Trans. R. Soc. London, Ser. A*, 338, pp. 43–68, (1992).
24. Mahdavi, A. and Talebbeydokhti, N., "Modeling of non-breaking and breaking solitary wave run-up using shock-capturing TVD-WAF scheme", *KSCE J. Civil Eng.*, 15(6), pp. 945–955, (2011).

25. Zanuttigh, B. and Lamberti, A., "Roll waves simulation using shallow water equations and weighted average flux method", *J. Hydraulic Res.*, 40(5), pp. 610–622, (2002).
26. Lukáčová-Medviďová, M. and Teschke, U., "Comparison study of some finite volume and finite element methods for the shallow water equations with bottom topography and friction terms", *ZAMM J. Applied Math. Mech.*, 86(11), pp. 874–891, (2006).